

Poz. Z3.0 Konstrukcja nośna wiaty

Przedmiotową wiatę projektuje się jako konstrukcję stalową wykonaną ze stali St3SX i 18G2 w postaci ażurowych dźwigarów dachowych opartych na stalowych słupach nośnych. Na dźwigarach należy ułożyć płatwie z belek zimnogiętych i ceowych. W celu usztywnienia ustroju projektuje się stężenia połaciowe dachu. Przyjęto rozstaw ram co 7,5m.

Na przedmiotową konstrukcję będzie działać następujące obciążenie powierzchniowe:

	kN/m ²	γ_f	kN/m ²
Obciążenia stałe Poz. 1.1.1	0,170	1,20	0,204
Obciążenie wiatrem Poz. 1.1.2	0,638	1,50	0,957
Obciążenie śniegiem Poz. 1.1.3	1,715	1,50	2,573

Ponadto na przedmiotową konstrukcję będzie działać obciążenie liniowe od oblodzenia i obciążenie skupione od konstrukcji attyk oraz obciążenia wyjątkowe od uderzenia w konstrukcję wiaty samochodu ciężarowego:

	kN/m	γ_f	kN/m
Obciążenie oblodzeniem Poz. 1.1.4	0,210	1,50	0,315

Dźwigary skrajne 2szt.

	kN	γ_f	kN
Maksymalna reakcja pionowa od attyki	9,150	1,23	11,200
Maksymalna reakcja pozioma (od parcia lub ssania wiatru)	11,510	1,50	17,270

Dźwigary przedskrajne 2szt.

	kN	γ_f	kN
Maksymalna reakcja pionowa od attyki	11,160	1,23	13,700
Maksymalna reakcja pozioma (od parcia lub ssania wiatru)	14,040	1,50	21,060

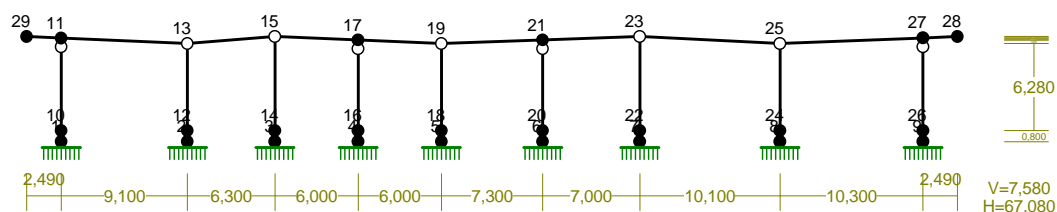
Dźwigary środkowe 2szt.

	kN	γ_f	kN
Maksymalna reakcja pionowa od attyki	11,530	1,23	14,150
Maksymalna reakcja pozioma (od parcia lub ssania wiatru)	14,590	1,50	21,890

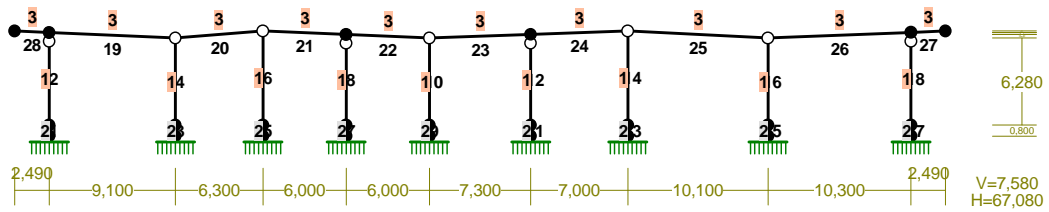
	kN	γ_f	kN
Uderzenie samochodem ciężarowym lub autobusem	100,00	1,00	100,00

Jako schemat statyczny przyjęto następującą ramę:

WEZŁĘY:



PRZEKROJE PRĘTÓW:



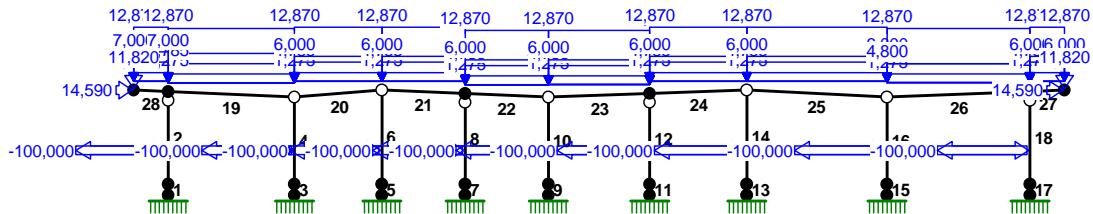
WIELKOŚCI PRZEKROJOWE:

Nr.	A[cm ²]	I _x [cm ⁴]	I _y [cm ⁴]	W _g [cm ³]	W _d [cm ³]	h[cm]	Materiał:
1	155,0	9673	9673	791	791	24,4	4 18G2 (A)
2	6400,0	3413333	3413333	85333	85333	80,0	19 B25
3	173,5	225640	10816	5938	5938	76,0	4 18G2 (A)

STAŁE MATERIAŁOWE:

Materiał:	Moduł E: [N/mm ²]	Napręż.gr.: [N/mm ²]	AlfaT: [1/K]
4 18G2 (A)	205	295,000	1,20E-05
19 B25	30	13,300	1,00E-05

OBCIĄŻENIA:



W Y N I K I
Teoria I-go rzędu
Kombinatoryka obciążeń

OBCIĄŻENIOWE WSPÓŁ. BEZPIECZ.:

Grupa:	Znaczenie:	ψ _d :	γ _f :
Ciężar wł.			1,10
A - ""	Zmienne	1	1,00
B - ""	Zmienne	1	1,00
C - ""	Zmienne	1	1,00

D - " "	Zmienne	1	1,00	1,20
E - " "	Zmienne	1	1,00	1,00
F - " "	Zmienne	1	1,00	1,00
G - " "	Zmienne	1	1,00	1,00
H - " "	Zmienne	1	1,00	1,00
I - " "	Zmienne	1	1,00	1,00
J - " "	Zmienne	1	1,00	1,00
K - " "	Zmienne	1	1,00	1,00
L - " "	Zmienne	1	1,00	1,00
M - " "	Zmienne	1	1,00	1,00
N - " "	Zmienne	1	1,00	1,00
O - " "	Zmienne	1	1,00	1,00
P - " "	Zmienne	1	1,00	1,00
R - " "	Zmienne	1	1,00	1,00
S - " "	Zmienne	1	1,00	1,00
T - " "	Zmienne	1	1,00	1,00
W - " "	Zmienne	1	1,00	1,00
X - " "	Zmienne	1	1,00	1,00

RELACJE GRUP OBCIĄŻEŃ:

Grupa obc.:	Relacje:
Ciężar wł.	ZAWSZE
A - " "	EWENTUALNIE
B - " "	EWENTUALNIE
C - " "	EWENTUALNIE
D - " "	EWENTUALNIE
E - " "	EWENTUALNIE
	Nie występuje z: FGHIJKLMNOPRSTWX
F - " "	EWENTUALNIE
	Nie występuje z: EGHIJKLMNOPRSTWX
G - " "	EWENTUALNIE
	Nie występuje z: EFHIJKLMNOPRSTWX
H - " "	EWENTUALNIE
	Nie występuje z: EFGIJKLMNOPRSTWX
I - " "	EWENTUALNIE
	Nie występuje z: EFGHJKLMNOPRSTWX
J - " "	EWENTUALNIE
	Nie występuje z: EFGHIJKLMNOPRSTWX
K - " "	EWENTUALNIE
	Nie występuje z: EFGHIJKLMNOPRSTWX
L - " "	EWENTUALNIE
	Nie występuje z: EFGHIJKLMNOPRSTWX
M - " "	EWENTUALNIE
	Nie występuje z: EFGHIJKLMNOPRSTWX
N - " "	EWENTUALNIE
	Nie występuje z: EFGHIJKLMNOPRSTWX

O - " " EWENTUALNIE
Nie występuje z: EFGHIJKLMNOPRSTWX

P - " " EWENTUALNIE
Nie występuje z: EFGHIJKLMNOPRSTWX

R - " " EWENTUALNIE
Nie występuje z: EFGHIJKLMNOPSTWX

S - " " EWENTUALNIE
Nie występuje z: EFGHIJKLMNOPRTWX

T - " " EWENTUALNIE
Nie występuje z: EFGHIJKLMNOPRSWX

W - " " EWENTUALNIE
Nie występuje z: EFGHIJKLMNOPRSTX

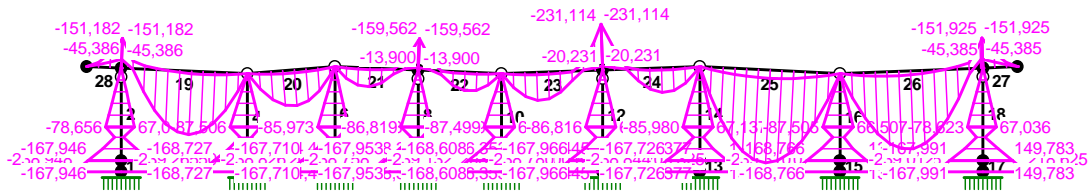
X - " " EWENTUALNIE
Nie występuje z: EFGHIJKLMNOPRSTW

KRYTERIA KOMBINACJI OBCIĄŻEŃ:

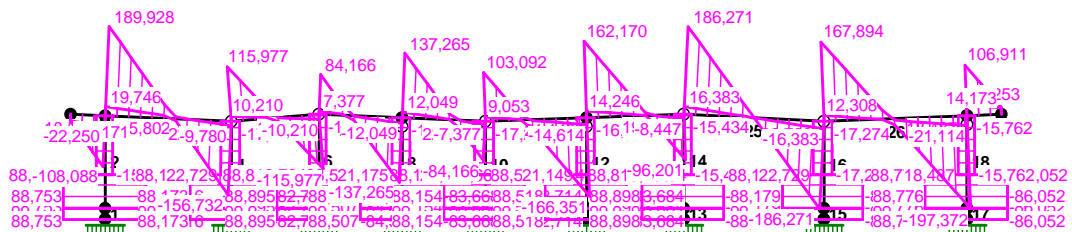
Nr: Specyfikacja:

1 ZAWSZE : A
EWENTUALNIE: B+C+D+E+F+G+H+I+J+K+L+M+N+O+P+R+S+T
+W+X

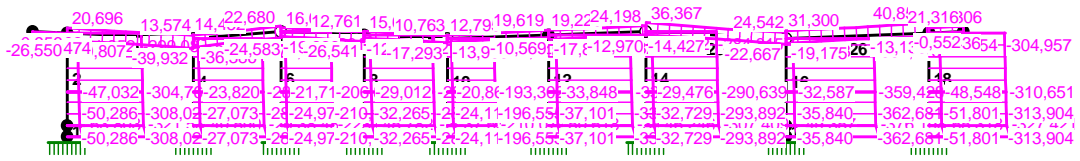
MOMENTY-OBWIEDNIE:



TNĄCE-OBWIEDNIE:



NORMALNE-OBWIEDNIE:



SIŁY PRZEKROJOWE - WARTOŚCI EKSTREMALNE: T.I rzędu

Obciążenia obl.: Ciężar wł.+"Kombinacja obciążeń"

Pręt:	x[m]:	M[kNm]:	Q[kN]:	N[kN]:	Kombinacja obciążeń:
1	0,000	218,501*	-86,016	-65,089	AN
	0,000	-238,948*	88,753	-320,253	ABCDE
	0,800	-167,946	88,753*	-306,736	ABCDE
	0,000	-238,948	88,753*	-320,253	ABCDE
	0,800	-137,555	84,198	-50,286*	AE
	0,000	184,467	-81,462	-321,539*	ABCDN
2	0,000	149,688*	-86,016	-51,572	AN
	0,000	-167,946*	88,753	-306,736	ABCDE
	2,430	47,723	88,753*	-303,483	ABCDE
	0,000	-167,946	88,753*	-306,736	ABCDE
	6,673	-0,000	-15,802	-41,352*	AE
	0,000	119,297	-81,462	-308,022*	ABCDN
3	0,000	200,673*	-82,722	-40,837	AO
	0,000	-239,265*	88,173	-297,955	ABCDF
	0,800	-168,727	88,173*	-284,438	ABCDF
	0,000	-239,265	88,173*	-297,955	ABCDF
	0,800	27,569	-4,390	-27,073*	AN
	0,000	-54,240	7,661	-298,597*	ABCDE
4	0,000	134,495*	-82,722	-27,320	AO
	0,000	-168,727*	88,173	-284,438	ABCDF
	2,430	45,534	88,173*	-281,185	ABCDF
	0,000	-168,727	88,173*	-284,438	ABCDF
	6,280	-0,000	-4,390	-18,666*	AN
	0,000	-48,111	7,661	-285,080*	ABCDE
5	0,000	206,013*	-84,566	-184,335	ACDP
	0,000	-238,826*	88,895	-77,800	ABG
	0,800	-167,710	88,895*	-64,283	ABG
	0,000	-238,826	88,895*	-77,800	ABG
	0,800	-13,303	1,962	-24,972*	AF
	0,000	-17,939	2,367	-223,646*	ABCDO
6	0,000	138,360*	-84,566	-170,819	ACDP
	0,000	-167,710*	88,895	-64,283	ABG
	2,430	48,306	88,895*	-61,030	ABG
	0,000	-167,710	88,895*	-64,283	ABG
	6,780	-0,000	1,962	-15,895*	AF
	0,000	-16,046	2,367	-210,129*	ABCDO
7	0,000	203,287*	-83,668	-244,248	ACDR

	0,000	-238,758*	88,507	-99,357	ABH
	0,800	-167,953	88,507*	-85,841	ABH
	0,000	-238,758	88,507*	-99,357	ABH
	0,800	-136,337	83,666	-32,265*	AH
	0,000	167,798	-78,826	-297,824*	ABCDR
8	0,000	136,353*	-83,668	-230,731	ACDR
	0,000	-167,953*	88,507	-85,841	ABH
	2,430	47,120	88,507*	-82,587	ABH
	0,000	-167,953	88,507*	-85,841	ABH
	6,530	0,000	-16,334	-23,523*	AH
	0,000	104,737	-78,826	-284,307*	ABCDR
9	0,000	200,616*	-82,714	-172,926	ACDS
	0,000	-239,132*	88,154	-74,776	ABI
	0,800	-168,608	88,154*	-61,259	ABI
	0,000	-239,132	88,154*	-74,776	ABI
	0,800	15,434	-2,458	-24,113*	AO
	0,000	-55,916	7,898	-210,072*	ABCDF
10	0,000	134,445*	-82,714	-159,409	ACDS
	0,000	-168,608*	88,154	-61,259	ABI
	2,430	45,606	88,154*	-58,006	ABI
	0,000	-168,608	88,154*	-61,259	ABI
	6,280	-0,000	-2,458	-15,705*	AO
	0,000	-49,598	7,898	-196,555*	ABCDF
11	0,000	203,325*	-83,684	-50,618	AT
	0,000	-238,780*	88,518	-351,344	ABCDJ
	0,800	-167,966	88,518*	-337,828	ABCDJ
	0,000	-238,780	88,518*	-351,344	ABCDJ
	0,800	136,377	-83,684	-37,101*	AT
	0,000	-238,780	88,518	-351,344*	ABCDJ
12	0,000	136,377*	-83,684	-37,101	AT
	0,000	-167,966*	88,518	-337,828	ABCDJ
	2,430	47,133	88,518*	-334,574	ABCDJ
	0,000	-167,966	88,518*	-337,828	ABCDJ
	6,535	-0,000	16,316	-28,352*	AT
	0,000	-167,966	88,518	-337,828*	ABCDJ
13	0,000	206,010*	-84,566	-47,250	AW
	0,000	-238,844*	88,898	-306,405	ABCDK
	0,800	-167,726	88,898*	-292,888	ABCDK
	0,000	-238,844	88,898*	-306,405	ABCDK
	0,800	13,301	-1,962	-32,729*	AX
	0,000	-47,704	6,293	-307,409*	ABCDL
14	0,000	138,357*	-84,566	-33,733	AW
	0,000	-167,726*	88,898	-292,888	ABCDK
	2,430	48,295	88,898*	-289,635	ABCDK
	0,000	-167,726	88,898*	-292,888	ABCDK
	6,780	0,000	-1,962	-23,652*	AX
	0,000	-42,669	6,293	-293,892*	ABCDL
15	0,000	200,695*	-82,725	-242,418	ACX
	0,000	-239,310*	88,179	-183,405	ABDL
	0,800	-168,766	88,179*	-169,888	ABDL
	0,000	-239,310	88,179*	-183,405	ABDL
	0,800	-13,859	2,207	-35,840*	AM
	0,000	-7,513	1,061	-376,198*	ABCDN

16	0,000	134,515*	-82,725	-228,901	ACX
	0,000	-168,766*	88,179	-169,888	ABDL
	2,430	45,510	88,179*	-166,635	ABDL
	0,000	-168,766	88,179*	-169,888	ABDL
	6,280	0,000	2,207	-27,433*	AM
	0,000	-6,664	1,061	-362,681*	ABCDN
17	0,000	218,625*	-86,052	-268,377	ACDN
	0,000	-239,012*	88,776	-124,361	ABM
	0,800	-167,991	88,776*	-110,845	ABM
	0,000	-239,012	88,776*	-124,361	ABM
	0,800	149,781	-86,051	-51,801*	AN
	0,000	-239,009	88,776	-327,421*	ABCDM
18	0,000	149,783*	-86,052	-254,861	ACDN
	0,000	-167,991*	88,776	-110,845	ABM
	2,430	47,735	88,776*	-107,591	ABM
	0,000	-167,991	88,776*	-110,845	ABM
	6,683	-0,000	13,949	-42,854*	AN
	0,000	-167,989	88,776	-313,904*	ABCDM
19	5,124	322,385*	-5,068	-33,382	ABCDE
	0,000	-151,182*	189,928	-24,961	ABCDE
	0,000	-151,182	189,928*	-24,961	ABCDE
	0,000	-131,273	155,115	20,696*	ACDN
	9,108	0,000	-156,732	-39,932*	ABCDE
20	3,160	183,238*	-0,000	-27,181	ABCDF
	0,000	0,000*	115,977	-36,386	ABCDF
	6,320	-0,000*	-32,748	-24,583	ABF
	0,000	0,000	115,977*	-36,386	ABCDF
	6,320	-0,000	-115,977*	-17,977	ABCDF
	6,320	0,000	-93,439	22,680*	ACDO
	0,000	0,000	115,977	-36,386*	ABCDF
21	2,252	96,058*	1,145	-13,538	ABCDR
	6,005	-159,562*	-137,265	-7,249	ABCDH
	6,005	-159,562	-137,265*	-7,249	ABCDH
	0,000	0,000	67,772	16,088*	ACDO
	6,005	-159,382	-137,234	-26,541*	ABCDF
22	3,753	96,058*	-1,145	7,558	ABCDR
	0,000	-159,562*	137,265	-7,315	ABCDH
	0,000	-159,562	137,265*	-7,315	ABCDH
	0,000	-128,562	110,588	15,677*	ACDO
	6,005	-0,000	-84,153	-17,293*	ABCDF
23	2,739	144,014*	2,059	12,976	ABCDJ
	7,304	-231,114*	-166,351	-1,778	ABCDT
	7,304	-231,114	-166,351*	-1,778	ABCDT
	7,304	-231,058	-166,343	19,619*	ABCDL
	0,000	0,000	83,054	-13,983*	ACDX
24	4,378	125,448*	0,680	1,535	ABCDJ
	0,000	-231,114*	162,170	7,897	ABCDT
	0,000	-231,114	162,170*	7,897	ABCDT
	7,004	0,000	-96,186	24,198*	ABCDL
	0,000	-186,076	130,634	-17,839*	ACDX
25	5,056	470,911*	0,000	27,145	ABCDL

	0,000	0,000*	186,271	36,367	ABCDL
	10,112	0,000*	-52,585	24,542	ABL
	0,000	0,000	186,271*	36,367	ABCDL
	10,112	0,000	-186,271*	17,924	ABCDL
	0,000	0,000	186,271	36,367*	ABCDL
	10,112	0,000	-150,069	-22,667*	ACDX
26	4,510	396,818*	8,090	32,818	ABCDM
	10,308	-151,925*	-197,372	40,857	ABCDM
	10,308	-151,925	-197,372*	40,857	ABCDM
	10,308	-151,925	-197,372	40,857*	ABCDM
	0,000	0,000	133,323	-19,175*	ACDN
27	2,492	0,000*	15,025	21,316	ABCF
	0,000	-151,925*	106,911	17,737	ABCDK
	0,000	-151,925	106,911*	17,737	ABCDK
	2,492	0,000	15,025	21,316*	ABCDR
	0,000	-127,552	88,200	-3,436*	ACDS
28	0,000	-0,000*	-13,231	-22,474	ABCDK
	2,492	-151,182*	-108,088	-26,550	ABCDK
	2,492	-151,182	-108,088*	-26,550	ABCDK
	0,000	0,000	-14,171	-0,609*	ACDL
	2,492	-151,182	-108,088	-26,550*	ABCDM

* = Wartości ekstremalne

REAKCJE - WARTOŚCI EKSTREMALNE: T.I rzędu
Obciążenia obl.: Ciężar wł.+"Kombinacja obciążeń"

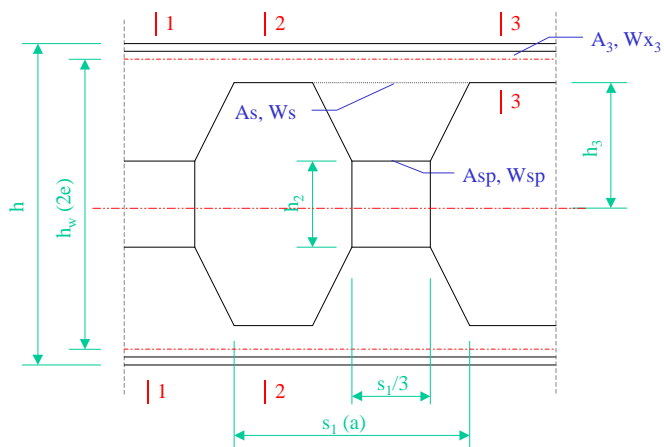
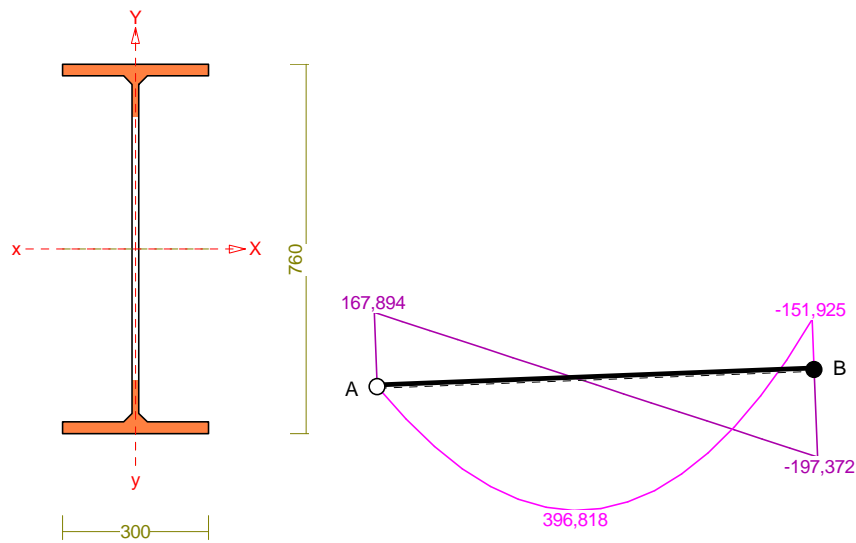
Węzeł:	H[kN]:	V[kN]:	R[kN]:	M[kNm]:	Kombinacja obciążeń:
1	86,016*	65,089	107,867	-218,501	AN
	-88,753*	320,253	332,323	238,948	ABCDE
	81,462	321,539*	331,698	-184,467	ABCDN
	-84,198	63,803*	105,641	204,913	AE
	-88,753	320,253	332,323*	238,948	ABCDE
	-88,753	320,253	332,323	238,948*	ABCDE
	86,016	65,089	107,867	-218,501*	AN
2	82,722*	40,837	92,253	-200,673	AO
	-88,173*	297,955	310,727	239,265	ABCDF
	-7,661	298,597*	298,695	54,240	ABCDE
	4,390	40,590*	40,827	-31,081	AN
	-88,173	297,955	310,727*	239,265	ABCDF
	-88,173	297,955	310,727	239,265*	ABCDF
	82,722	40,837	92,253	-200,673*	AO
3	84,566*	184,335	202,808	-206,013	ACDP
	-88,895*	77,800	118,132	238,826	ABG
	-2,367	223,646*	223,659	17,939	ABCDO
	-1,962	38,489*	38,539	14,873	AF
	-88,895	221,726	238,882*	238,820	ABCDG
	-88,895	77,800	118,132	238,826*	ABG
	84,566	184,335	202,808	-206,013*	ACDP
4	83,668*	244,248	258,181	-203,287	ACDR
	-88,507*	99,357	133,062	238,758	ABH
	78,826	297,824*	308,079	-167,798	ABCDR
	-83,666	45,782*	95,372	203,270	AH
	-88,505	296,547	309,473*	238,744	ABCDH

	-88,507	99,357	133,062	238,758*	ABH
	83,668	244,248	258,181	-203,287*	ACDR
5	82,714*	172,926	191,690	-200,616	ACDS
	-88,154*	74,776	115,597	239,132	ABI
	-7,898	210,072*	210,221	55,916	ABCDF
	2,458	37,630*	37,710	-17,401	AO
	-88,154	209,244	227,055*	239,129	ABCDI
	-88,154	74,776	115,597	239,132*	ABI
	82,714	172,926	191,690	-200,616*	ACDS
6	83,684*	50,618	97,802	-203,325	AT
	-88,518*	351,344	362,323	238,780	ABCDJ
	-88,518	351,344*	362,323	238,780	ABCDJ
	83,684	50,618*	97,802	-203,325	AT
	-88,518	351,344	362,323*	238,780	ABCDJ
	-88,518	351,344	362,323	238,780*	ABCDJ
	83,684	50,618	97,802	-203,325*	AT
7	84,566*	47,250	96,871	-206,010	AW
	-88,898*	306,405	319,040	238,844	ABCDK
	-6,293	307,409*	307,474	47,704	ABCDL
	1,962	46,246*	46,287	-14,870	AX
	-88,898	306,405	319,040*	238,844	ABCDK
	-88,898	306,405	319,040	238,844*	ABCDK
	84,566	47,250	96,871	-206,010*	AW
8	82,725*	242,418	256,145	-200,695	ACX
	-88,179*	183,405	203,502	239,310	ABDL
	-1,061	376,198*	376,199	7,513	ABCDN
	-2,207	49,357*	49,406	15,624	AM
	-88,179	374,506	384,747*	239,310	ABCDL
	-88,179	183,405	203,502	239,310*	ABDL
	82,725	242,418	256,145	-200,695*	ACX
9	86,052*	268,377	281,836	-218,625	ACDN
	-88,776*	124,361	152,797	239,012	ABM
	-88,776	327,421*	339,243	239,009	ABCDM
	86,051	65,318*	108,034	-218,622	AN
	-88,776	327,421	339,243*	239,009	ABCDM
	-88,776	124,361	152,797	239,012*	ABM
	86,052	268,377	281,836	-218,625*	ACDN

* = Wartości ekstremalne

Poz. Z3.1 Dźwigar najbardziej obciążony

Wymiarowanie dźwigarów ażurowych:



Przekrój:

Symbol: **I 400 HEB ap**

Materiał: **4 18G2 (A)**

Wymiary: $h = 760,0$ mm; $h_w = 720,0$ mm; $t_w = 13,5$ mm;
 $h_3 = 270,0$ mm; $h_2 = 180,0$ mm; $s_1 = 540,0$ mm;
 $b_f = 300,0$ mm; $t_f = 24,0$ mm.

Charakterystyka: $A_1 = 246,38$ cm²; $J_{x_1} = 243350,00$ cm⁴; $W_{x_1} = 6403,95$ cm³;
 $A_2 = 173,48$ cm²; $J_{x_2} = 225640,00$ cm⁴; $W_{x_2} = 5937,89$ cm³;
 $A_3 = 86,74$ cm²; $J_{x_3} = 412,60$ cm⁴; $W_{x_3} = 45,85$ cm³;
 $J_{y_2} = 10816,31$ cm⁴; $J_{\omega} = 1,4648E+07$ cm⁶; $J_t = 372,32$ cm⁴;
 $A_s = 48,60$ cm²; $W_s = 291,60$ cm³;
 $A_{sp} = 24,30$ cm²; $W_{sp} = 72,90$ cm³;

Sprawdzenie nośności dźwigara ażurowego przeprowadzono w oparciu literaturę. Obliczenia przeprowadzono dla ekstremalnych wielkości statycznych.

Zwicherungie

Przyjęto rozstaw stężeń bocznych $l_1 = 10,308$ m.

Siły krytyczne wyznaczono na podstawie długości wyboczeniowych przyjętych z tabeli Z1-2 normy:

$$N_y = \frac{\pi^2 EJ_y}{(\mu_y l_1)^2} = \frac{3,142^2 \times 205000 \times 10816,31}{(1,0 \times 10,308)^2} \times 10^{-5} = 2059,605 \text{ kN}$$

$$N_z = \frac{1}{i_s^2} \left[\frac{\pi^2 EJ_\omega}{(\mu_\omega l_1)^2} + G J_t \right] = \frac{1}{36,92^2} \left[\frac{3,142^2 \times 205000 \times 1,4648 \times 10^7}{(1,0 \times 10,308)^2} \times 10^{-5} + 80000 \times 372,32 \times 10^{-1} \right] = 4231,627 \text{ kN}$$

Moment krytyczny:

$$a_s = y_s - h / 2 = 0,00 / 100 - 760,0 / 2000 = -0,380 \text{ m}$$

$$A_0 = A_1 b_y + A_2 a_s = 0,610 \times 0,000 + 0,530 \times -0,380 = -0,201$$

$$M_{cr} = A_0 N_y + \sqrt{(A_0 N_y)^2 + B^2 i_s^2 N_y N_z} = \\ -0,201 \times 2059,605 + \sqrt{(-0,201 \times 2059,605)^2 + 1,140^2 \times 0,369^2 \times 2059,605 \times 4231,627} = \\ 895,121 \text{ kNm}$$

Współczynnik niestateczności przy zwicherungiu wyznaczony dla parametru imperfekcji $n = 1,5$:

$$M_R = W_{x2} f_d = 5937,89 \times 295 \times 10^{-3} = 1751,679 \text{ kNm}$$

$$\bar{\lambda}_L = 1,15 \sqrt{M_R / M_{cr}} = 1,15 \times \sqrt{1751,679 / 895,121} = 1,609$$

$$\varphi_L = (1 + \bar{\lambda}_L^{2n})^{-1/n} = (1 + 1,609^3)^{-1/1,5} = 0,335$$

Nośność przekroju nieosłabionego (1-1):

Wyniki dla $x_a = 4,51$ m; $x_b = 5,80$ m, przy obciążeniach "ABCDEFGHIJKLMNPRSTWX".

$$\sigma = \frac{M}{\varphi_L W_{x1}} + \frac{N}{A_1} = \frac{396,818}{0,335 \times 6403,95} \times 10^3 + \frac{17,044}{246,38} \times 10 = 185,8 \text{ MPa}$$

$$\tau = \frac{V}{ht_w} = \frac{8,090}{76,00 \times 1,35} \times 10 = 0,8 \text{ MPa}$$

$$\sigma_z = \sqrt{\sigma^2 + 3\tau^2} = \sqrt{185,8^2 + 3 \times 0,8^2} = 185,8 < 295 = f_d$$

Największe naprężenia tnące z uwzględnieniem stateczności środnika dla $x_a = 10,31$ m; $x_b = 0,00$ m, przy obciążeniach "ABCDEFGHIJKLMNPRSTWX".

$$\bar{\lambda}_v = (h / t_w) (K_v / 56) \sqrt{f_d / 215} = (760,0 / 13,5) \times (0,8 / 56) \times \sqrt{295 / 215} = 0,942$$

$$\varphi_v = 1 / \bar{\lambda}_v = 1 / 0,942 = 1,062 \quad \text{Przyjęto } \varphi_v = 1,000$$

$$\tau = \frac{V}{\varphi_v ht_w} = \frac{197,372}{1,000 \times 76,00 \times 1,35} \times 10 = 19,2 < 171,1 = 0,58 f_d$$

Nośność pasa (3-3):

Wyniki dla $x_a = 10,31$ m; $x_b = 0,00$ m, przy obciążeniach "ABCDEFGHIJKLMNPRSTWX".

$$\sigma = \frac{M}{\varphi_L A_3 h_w} + \frac{V s_1}{12 W_{x3}} + \frac{N}{A_2} = \frac{151,925}{0,335 \times 86,74 \times 72,00} \times 10^3 + \frac{197,372 \times 54,00}{12 \times 45,85} \times 10 + \frac{25,083}{173,48} \times 10 = 267,8 \text{ MPa}$$

$$\tau = \frac{V}{2(h/2 - h_3) t_w} = \frac{197,372}{2 \times (38,00 - 27,00) \times 1,35} \times 10 = 66,5 \text{ MPa}$$

$$\sigma_z = \sqrt{\sigma^2 + 3\tau^2} = \sqrt{267,8^2 + 3 \times 66,5^2} = 291,5 < 295 = f_d$$

Nośność słupka:

Wyniki dla $x_a=10,31$ m; $x_b=0,00$ m, przy obciążeniach "ABCDEFGHJKLMNOPRSTWX". Siła ściskająca słupek pochodząca od obciążeń rozłożonych $P = 0,712$ kN.

$$V_s = (2V + P) s_1 / (2h_w) = [(2 \times 197,372 + 0,712) \times 540,0] / (2 \times 720,0) = 148,296 \text{ kN}$$

$$\sigma = \frac{P}{2A_s} + \frac{V_s h_3}{W_s} = \frac{0,712}{2 \times 48,60} \times 10 + \frac{148,296 \times 27,00}{291,60} \times 10 = 137,4 \text{ MPa}$$

$$\tau = V_s / A_s = 148,296 / 48,60 \times 10 = 30,5 \text{ MPa}$$

$$\sigma_z = \sqrt{\sigma^2 + 3\tau^2} = \sqrt{137,4^2 + 3 \times 30,5^2} = 147,2 < 295 = f_d$$

Nośność spoiny:

Wyniki dla $x_a=10,31$ m; $x_b=0,00$ m, przy obciążeniach "ABCDEFGHJKLMNOPRSTWX".

$$V_{sp} = V s_1 / h_w = 197,372 \times 540,0 / 720,0 = 148,029 \text{ kN}$$

$$M_{sp} = V_{sp} h_2 / 2 = 148,029 \times 180,0 \times 10^{-3} / 2 = 13,323 \text{ kNm}$$

$$\sigma = M_{sp} / W_{sp} = 13,323 / 72,90 \times 10^3 = 182,8 \text{ MPa}$$

$$\tau = V_{sp} / A_{sp} = 148,029 / 24,30 \times 10 = 60,9 \text{ MPa}$$

$$\sigma_z = \sqrt{(\sigma / \alpha_{\perp})^2 + (\tau / \alpha_{\parallel})^2} = \sqrt{(182,8/1,0)^2 + (60,9/0,6)^2} = 209,1 < 295 = f_d$$

Nośność środника:

Siła skupiona dla $x_a=10,31$ m; $x_b=0,00$ m, przy obciążeniach "ABCDEFGHJKLMNOPRSTWX":

$$P = -197,372 \text{ kN.}$$

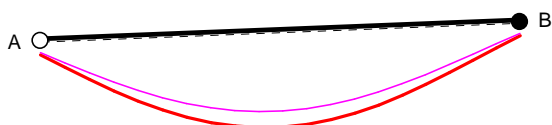
Nośność środnika:

$$P_R = t_w [c + 5(t_f + r)] f_d = 13,5 \times [0,0 + 5 \times (24,0 + 27,0)] \times 295 \times 10^{-3} = 1015,538 \text{ kN}$$

Warunek nośności:

$$P = 197,372 < 1015,538 = P_R$$

Stan graniczny użytkowania:



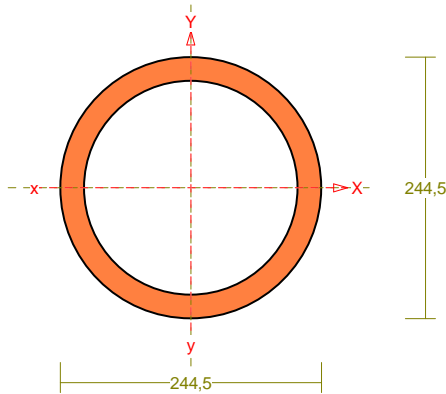
Przemieszczenie prostopadłe do osi pręta wyznaczone powiększone o 20% dla $x_a=5,15$ m; $x_b=5,15$ m, przy obciążeniach "ABCDEFGHJKLMNPRSTWX", wynoszą:

$$a = -8,8 \text{ mm}$$

$$a = 8,8 < 41,2 = 1 / 250 = a_{gr}.$$

Poz. Z3.2 Słup najbardziej obciążony

Przekrój: R 244.5x22.2



Wymiary przekroju:

$$R\ 244.5 \times 22.2 \quad D=244,5 \quad d=200,1 \quad g=22,2.$$

Charakterystyka geometryczna przekroju:

$$J_{xg}=9672,5 \quad J_{yg}=9672,5 \quad A=155,04 \quad i_x=7,9 \quad i_y=7,9$$

$$J_w=0,0 \quad J_t=18984,5 \quad i_s=11,2.$$

Materiał: **18G2 (A)**. Wytrzymałość **fd=295 MPa** dla **g=22,2**.

Przekrój spełnia warunki przekroju klasy **1**.

Siły przekrojowe:

$$x_a = 0,000; \quad x_b = 6,280.$$

Obciążenia działające w płaszczyźnie układu: **ABCDL**

$$M_x = 168,766 \text{ kNm}, \quad V_y = 88,179 \text{ kN}, \quad N = -360,989 \text{ kN},$$

Naprężenia w skrajnych włóknach: $\sigma_t = 190,0 \text{ MPa}$ $\sigma_c = -236,6 \text{ MPa}$.

Naprężenia:

$$x_a = 0,000; \quad x_b = 6,280.$$

Naprężenia w skrajnych włóknach: $\sigma_t = 190,0 \text{ MPa}$ $\sigma_c = -236,6 \text{ MPa}$.

Naprężenia:

$$\text{- normalne:} \quad \sigma = -23,3 \quad \Delta\sigma = 213,3 \text{ MPa} \quad \psi_{oc} = 1,000$$

$$\text{- ścinanie wzdłuż osi Y:} \quad A_v = 108,56 \text{ cm}^2 \quad \tau = 8,1 \text{ MPa} \quad \psi_{ov} = 1,000$$

Warunki nośności:

$$\sigma_{ec} = \sigma / \psi_{oc} + \Delta\sigma = 23,3 / 1,000 + 213,3 = 236,6 < 295 \text{ MPa}$$

$$\tau_{ey} = \tau / \psi_{ov} = 8,1 / 1,000 = 8,1 < 171,1 = 0,58 \times 295 \text{ MPa}$$

$$\sqrt{\sigma_e^2 + 3 \tau_e^2} = \sqrt{236,6^2 + 3 \times 8,1^2} = 237,0 < 295 \text{ MPa}$$

Nośność elementów rozciąganych:

$$x_a = 0,000; \quad x_b = 6,280.$$

$$\text{Siła osiowa:} \quad N = -360,989 \text{ kN}.$$

$$\text{Pole powierzchni przekroju:} \quad A = 155,04 \text{ cm}^2.$$

$$\text{Nośność przekroju na rozciąganie:} \quad N_{Rt} = A f_d = 155,04 \times 295 \times 10^{-1} = 4573,680 \text{ kN}.$$

Warunek nośności (31):

$$N = 360,989 < 4573,680 = N_{Rt}$$

Długości wyboczeniowe pręta:

- przy wyboczeniu w płaszczyźnie układu przyjęto podatności węzłów ustalone wg załącznika 1 normy:

$$\kappa_a = 0,300 \quad \kappa_b = 1,000 \quad \text{węzły nieprzesuwne} \Rightarrow \mu = 0,763 \quad \text{dla } l_o = 6,280 \\ l_w = 0,763 \times 6,280 = 4,792 \text{ m}$$

- przy wyboczeniu w płaszczyźnie prostopadłej do płaszczyzny układu:

$$\kappa_a = 1,000 \quad \kappa_b = 1,000 \quad \text{węzły nieprzesuwne} \Rightarrow \mu = 1,000 \quad \text{dla } l_o = 6,280 \\ l_w = 1,000 \times 6,280 = 6,280 \text{ m}$$

- dla wyboczenia skrętnego przyjęto współczynnik długości wyboczeniowej $\mu_\omega = 1,000$. Rozstaw stężeń zabezpieczających przed obrotem $l_{\omega\omega} = 6,280$ m. Długość wyboczeniowa $l_\omega = 6,280$ m.

Siły krytyczne:

$$N_x = \frac{\pi^2 EJ}{l_w^2} = \frac{3,14^2 \times 205 \times 9672,5}{4,792^2} 10^{-2} = 8523,662 \text{ kN}$$

$$N_y = \frac{\pi^2 EJ}{l_w^2} = \frac{3,14^2 \times 205 \times 9672,5}{6,280^2} 10^{-2} = 4962,212 \text{ kN}$$

$$N_z = \frac{1}{i_s^2} \left(\frac{\pi^2 EJ_\omega}{l_\omega^2} + GJ_T \right) =$$

$$\frac{1}{11,2^2} \left(\frac{3,14^2 \times 205 \times 0,0}{6,280^2} 10^{-2} + 80 \times 18984,5 \times 10^2 \right) = 1217197,635 \text{ kN}$$

Nośność przekroju na ściskanie:

$x_a = 0,000$; $x_b = 6,280$:

$$N_{RC} = A f_d = 155,0 \times 295 \times 10^{-1} = 4573,680 \text{ kN}$$

Określenie współczynników wyboczeniowych:

$$\text{- dla } N_x \quad \bar{\lambda} = 1,15 \sqrt{N_{RC} / N_x} = 1,15 \times \sqrt{4573,680 / 8523,662} = 0,846 \Rightarrow \text{Tab.11 a} \Rightarrow \varphi = 0,813$$

$$\text{- dla } N_y \quad \bar{\lambda} = 1,15 \sqrt{N_{RC} / N_y} = 1,15 \times \sqrt{4573,680 / 4962,212} = 1,109 \Rightarrow \text{Tab.11 a} \Rightarrow \varphi = 0,631$$

$$\text{- dla } N_z \quad \bar{\lambda} = 1,15 \sqrt{N_{RC} / N_z} = 1,15 \times \sqrt{4573,680 / 1217197,635} = 0,070 \Rightarrow \text{Tab.11 c} \Rightarrow \varphi = 0,999$$

Przyjęto: $\varphi = \varphi_{\min} = 0,631$

Warunek nośności pręta na ściskanie (39):

$$\frac{N}{\varphi N_{RC}} = \frac{360,989}{0,631 \times 4573,680} = 0,125 < 1$$

Nośność przekroju na zginanie:

$x_a = 0,000$; $x_b = 6,280$.

- względem osi X

$$M_R = \alpha_p W f_d = 1,000 \times 791,2 \times 295 \times 10^{-3} = 233,407 \text{ kNm}$$

Współczynnik zwiczenia dla $\bar{\lambda}_L = 0,000$ wynosi $\varphi_L = 1,000$

Warunek nośności (54):

$$\frac{N}{N_{Rc}} + \frac{M_x}{\varphi_L M_{Rx}} = \frac{360,989}{4573,680} + \frac{168,766}{1,000 \times 233,407} = 0,802 < 1$$

Nośność (stateczność) pręta ściskanego i zginanego:

Składnik poprawkowy:

$$M_{x \max} = 168,766 \text{ kNm} \quad \beta_x = 1,000$$

$$\Delta_x = 1,25 \varphi_x \bar{\lambda}_x^2 \frac{\beta_x M_{x \max}}{M_{Rx}} \frac{N}{N_{Rc}} = 1,25 \times 0,813 \times 0,846^2 \frac{1,000 \times 168,766}{233,407} \times \frac{360,989}{4573,680} = 0,042$$

$$\Delta_x = 0,042 \quad M_{y \max} = 0 \quad \Delta_y = 0$$

Warunki nośności (58):

- dla wyboczenia względem osi X:

$$\frac{N}{\varphi_x N_{Rc}} + \frac{\beta_x M_{x \max}}{\varphi_L M_{Rx}} = \frac{360,989}{0,813 \times 4573,680} + \frac{1,000 \times 168,766}{1,000 \times 233,407} = 0,820 < 0,958 = 1 - 0,042$$

- dla wyboczenia względem osi Y:

$$\frac{N}{\varphi_y N_{Rc}} + \frac{\beta_x M_{x \max}}{\varphi_L M_{Rx}} = \frac{360,989}{0,631 \times 4573,680} + \frac{1,000 \times 168,766}{1,000 \times 233,407} = 0,848 < 1,000 = 1 - 0,000$$

Nośność przekroju na ścinanie:

$x_a = 0,000$; $x_b = 6,280$.

- wzdłuż osi Y

$$V_R = 0,58 A_V f_d = 0,58 \times 98,7 \times 295 \times 10^{-1} = 1688,778 \text{ kN}$$

$$V_O = 0,3 V_R = 506,633 \text{ kN}$$

Warunek nośności dla ścinania wzdłuż osi Y:

$$V = 88,179 < 1688,778 = V_R$$

Nośność przekroju zginanego, w którym działa siła poprzeczna:

$x_a = 0,000$; $x_b = 6,280$.

- dla zginania względem osi X: $V_y = 88,179 < 506,633 = V_O$

$$M_{R,V} = M_R = 233,407 \text{ kNm}$$

Warunek nośności (55):

$$\frac{N}{N_{Rc}} + \frac{M_x}{M_{Rx,V}} = \frac{360,989}{4573,680} + \frac{168,766}{233,407} = 0,802 < 1$$

Nośność przekroju na ścinanie z uwzględnieniem siły osiowej:

$x_a = 0,000$, $x_b = 6,280$.

- dla ścinania wzdłuż osi Y:

$$V = 88,179 < 1683,509 = 1688,778 \times \sqrt{1 - (360,989 / 4573,680)^2}$$
$$= V_R \sqrt{1 - (N / N_{Rc})^2} = V_{R,N}$$

Stan graniczny użytkowania:

Ugięcia względem osi Y liczone od cięciwy pręta wynoszą:

$$a_{\max} = 4,7 \text{ mm}$$

$$a_{\text{gr}} = l / 250 = 6280 / 250 = 25,1 \text{ mm}$$

$$a_{\max} = 4,7 < 25,1 = a_{\text{gr}}$$

Poz. Z3.3 Zakotwienie słupa

Przyjęto zakotwienie słupa konstrukcyjnie wg rys. kontr., na osiem śrub płytkowych (P36) o średnicy $\phi 36\text{mm}$ ze stali S355 (18G2A) w fundamencie wykonanym z betonu klasy C20/25 (B25). Moment dokręcenia śrub $M_s = 0,50 \text{ kNm}$, wymiary płytki oporowej $20 \times 130 \times 130\text{mm}$. Grubość blachy podstawy przyjęto równa 50mm ze stali S355 (18G2A). Zaprojektowano 8 żeber usztywniających o wysokości 240mm i grubości 14mm .

Minimalna długość zakotwienia śrub płytkowych $l = 0,75\text{m}$.